

長崎大学工学部 正員。混合英俊

同 形本雄二

同 遠口正雄

1. まえがき

土の応力と変形の関係は土質力学における最も基本的な問題であり、一般的に成立する理論の確立とともに、実験的での変形特性と正確性を把握し、そのに基づく近似則の表示を行なうことと工学的立場からも必要である。

砂を三軸状態で圧縮变形させると、軸比ズミ（最大主応力）と、体積比ズミとともに側方ズミ（最小主応力）が変化するが、この圧縮变形に対する側方ズミの変化は逐次とらずかめいせんに起因するダイレクトランシーなど砂の変形特性であるとできわめて重要なとみる。また実際の題にみるとき、例えば地下壁や地盤改良物の大動かく静止土圧等の関連し、さらに近似則の変形解析を行なう際の不アソシビリティ面にも影響を及ぼす。

ところが砂の不アソシビリティ（主応力比- $\varepsilon_3/\varepsilon_1$ ）は多くの実験データによると応力状態により変化する。一方、圧縮变形条件による側方ズミの変化に関する限り静止土圧係数  $K_0$  は多くの場合、破壊時の有効応力による内側摩擦角とのみの関係づけられてくる。弹性論によれば  $\varepsilon_1 = \nu / (1 - \nu)$  の関係があり、 $\nu$  と定めて  $K_0$  を表す。ところが砂は成り立つ弾性論に従ううえ材料ではないが、圧縮变形条件は「不アソシビリティ」をもたらすものと見て取られる。本文では側方-走査試験でのその実測み及び大試験を行なう、三軸状態での砂の圧縮变形条件と  $K_0$  の変化について実験的に検討した。のみ試験技術の問題もあり、データ数が少ないので、現状では定量的表示を行なわず、その一般的な特性について論ずることにする。

2. 試料および試験方法

試料は比重  $\rho_s = 2.636$ 、粒度係数  $C_u = 3.45$ 、粒径  $D = 2.0 \sim 0.074$  mm の丸き状態の大きさである。試験は西日本工業大学に設置された三軸圧縮試験機（その概要につけては文献（1）参照）を行なう、側方-走査試験とした試験を行なう。載荷方法は応力制御方式による初期的に載荷し、載荷時間は变形があるひずみの変化がほぼ落ち着くまでとし、約 10~15 分である。のみ走査試験法は直徑約 6.0 cm、高さ約 6.0 cm の円筒形である。また試験機の側面で側方ズミと側方角の測定の場合はこのみ測定した。

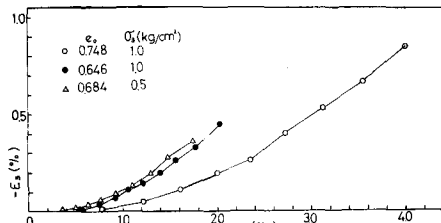
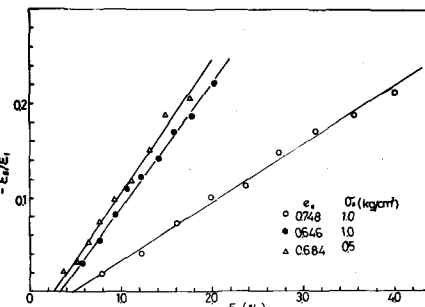
3. 試験結果および考察

直応力がみじめんズミとはほぼ平行とし、以下に示すべく、ズミとはほぼ平行  $\varepsilon_3/\varepsilon_1$  の値である。

3.1 側方ズミ（最小主応力） $\varepsilon_3$  の変化について

三軸状態で砂に応力を与えると、応力が小さくなる場合に側方変位もほとんど生じず、軸比ズミと体積比ズミが比例する初期圧縮過程<sup>(2)</sup> が存在し、非常にゆるやかな状態の粒状土の圧縮变形を考える際に用いられる。しかし応力が増加すると側方変形が卓越化され、ダイレクトランシーを観察となり、側方への衝撃が生ずる。図-1は軸比ズミと側方ズミ  $\varepsilon_3$  の変化のホークアーリーである。一般に  $\varepsilon_3/\varepsilon_1$  の直線関係は存在しない。

このことは、不アソシビリティ主応力比- $\varepsilon_3/\varepsilon_1$  として考えるとすれば、不アソシビリティの進行に伴う  $\varepsilon_3/\varepsilon_1$  の増加によると、 $\varepsilon_3/\varepsilon_1$  が  $\varepsilon_1$  に対して増加する。図-2は破壊時の応力状態での主応力比- $\varepsilon_3/\varepsilon_1$  と軸比ズミとの関係を示してある。 $\varepsilon_3/\varepsilon_1$  は  $\varepsilon_1$  の増加とともに

図-1. σ₀の増加による  $\varepsilon_3/\varepsilon_1$  の変化図-2. σ₀の増加による  $\varepsilon_3/\varepsilon_1$ ,  $\varepsilon_1$  の変化

さて、前章で直線的増加する。なりこの傾向は破壊状態に近づくにつれ、また破壊を過ぎると変わってくるのである。またどの実測例によればこれらのより次の表が再確認される。(i)同じ側圧ほどと、密になるほど、また側圧ほど小さくなるほど小干涉と軸と大きさとで側方への膨脹が大きくなる。(ii)同じ軸と大きさとが与えられた場合、密になるほど、また側圧ほど小さくなるほど側方への膨脹量は大きくなる。

### 3.2 静止土圧係数 $K_0$ の変化について

静止土圧係数  $K_0$  は Terzaghi 以来多数の実験結果が示され、また Jaky もはじめ種々の理論解析が提案されてゐるが、著者の方では  $\pi$  土では、多くの実験結果の中でも簡単な Jaky の式によつて十分に近似できることを示してゐる<sup>(3)</sup>。Jaky の式  $K_0 = 1 - \sin \phi'$  は材料、密度によつて異なり、直角せん断時の有効応力による内部摩擦角  $\phi'$  によつて最も簡単な形で表示してゐることも画期的のことである。一方の直角せん断条件と密接な関係性を持つ定義とは  $K_0$  の値である。上記述べたように主土粒子比  $E_3/E_1$  は軸上土粒子の増加率、すなはち灰粒径の増加とともに変化するものであり、 $K_0$  の値も応力条件によつて変化すると言えらる。図-3 は  $K_0$  の状態における最大主応力  $\sigma_1$  の増加に対する  $K_0$  の最小主応力  $\sigma_3$  の変化を示してあり、 $\sigma_3/\sigma_1 = K_0$  は  $\sigma_1$  の増加とともに直線的に減少していく。このことは  $K_0$  の表す下地の挙動が必ずしも  $\sigma_3$  で定まるものである。なお次に載荷時 ( $\sigma_1 = 1.0 \text{ kg/cm}^2$ ) の  $K_0$  は  $e_0 = 0.686 \pm 0.53$ ,  $e_0 = 0.726 \pm 0.00$  であり、盛土下  $\sigma_3$  ほどどの直角せん断  $K_0$  は  $0.3$  である。この傾向はその後の  $\sigma_1$  での応力状態によつても成立し、この点では Jaky の式は一般的な傾向を説明するものであると言つてよい。

图-1より最大主応力の増加に対する軸心線上の変化(△半分)が最小主応力の△みはび△σ/σ = K<sub>0</sub>の変にあてはまる。△σ/σの増加とともに△△は直線的に増加し、この傾向は側圧一定条件で主心線上比-△σ/σと△△の関係(图-2)と類似してあり、K<sub>0</sub>状態での最大主応力△σが主心線上比-△σ/σに比例することを示してある。△σの増加△半分△K<sub>0</sub>の変化は、又て載荷から次の載荷時間で大きく変化し、それ以後の載荷に対する△△は直線的で、次第に減少する。又て載荷△△に減少する傾向は、正規圧密粘土に対する載荷時間と大いに関係あると示してあるところから、さわめて興味深い。又半分、粘土の变形△△の変形時間の要素は小さく、又により支配されると考

4. まとめ) 三軸状態での砂の剛性係数  $K_0$ 、直角軸と大さきの変化と密接な関係があることが明らかになった。軸と大きさとの変化には応力変化によるものであるから、以後この実験データを集積し、砂の応力と变形の関係の定量的定式化に努めた。最後に、この実験装置は、種々の便宜と御教示下ハ六六六回西日本工業大学安原一哉講師によって使用された。

(2) 山内 青旅：几大工字集報，第3号，1926年 (3) Brans, M: Proc. of the Conf. S.M.F.E., Budapest, 1971. (4) Tschbotaroff, G.P.: Soil Mech., Foundations, and Earth Structures, McGraw-Hill,

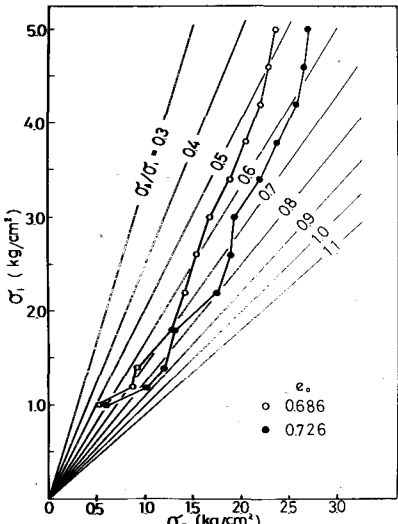


圖-3 算法的時間增益率

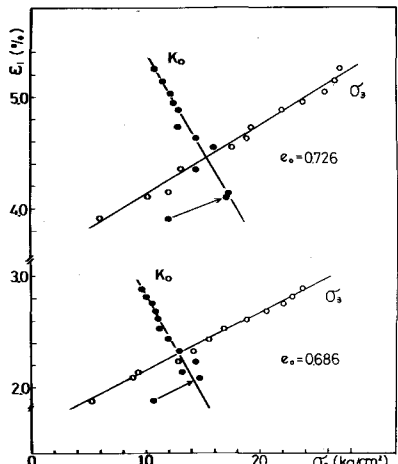


表 10-1 二重扩散系数